

بررسی همدیدی روزهای بسیار آلوده در شهر مشهد

مورد مطالعه: ۱۴ نوامبر ۲۰۰۷

طاهره سلطانی گردفرامرزی^۱، دکتری اقلیم شناسی، آموزش و پژوهش استان خراسان رضوی
عباس مفیدی، استادیار اقلیم شناسی، دانشگاه فردوسی مشهد.
امیر گندمکار، استادیار آب و هواشناسی گروه چگونگی آباد، دانشگاه آزاد اسلامی، نجف آباد،
ایران.

دربافت مقاله: ۱۳۹۴/۰۶/۰۱

پذیرش نهایی: ۱۳۹۴/۰۹/۲۶

چکیده

به منظور تحلیل همدیدی روزهای بسیار آلوده در ۱۴ نوامبر ۲۰۰۷ از یک روش تحلیل همدیدی ترکیبی استفاده شد. در پژوهش حاضر، چهار دسته داده، شامل داده های آلودگی ثبت شده در ایستگاه های سنجش آلودگی هوا، داده های رقومی جوی، داده های ایستگاه جو بالا و خروجی های مدل HYSPLIT مورد استفاده قرار گرفت. داده های آلودگی هوا از سازمان حفاظت محیط زیست خراسان رضوی، داده های جوی از مرکز ملی پیش بینی محیطی/مرکز ملی پژوهش جو(NCEP/NCAR) و داده های جو بالای ایستگاه مشهد از دانشگاه وایومینگ تهیه شد. ردیابی ذرات معلق نیز با بهره گیری از نسخه آنلاین مدل لاگرانژینی HYSPLIT و با استفاده از روش ردیابی پسگرد به انجام رسید. نتایج تحلیل همدیدی بیانگر آن است که روزهای بسیار آلوده ۱۴ نوامبر ۲۰۰۷ در شهر مشهد در قالب الگوی پرفشار مهاجرقابل طبقه بندی است. در الگوی پرفشار مهاجر، عبور امواج غربی از روی منطقه، استقرار پشته ای قوی در محدوده رشته کوه های اورال و دریای خزر را در پی دارد که با یک اریب شرق سو شکل گیری مرکز گردش و اجرخدنی را در حدفاصل دریای خزر تا بخش های شمالی خراسان در ترازهای زیرین موجب می گردد. درین الگو شاهد شکل گیری همزمان چند لایه کم ضخامت وارونگی در زیر تراز ۴۰۰ هکتوپاسکال هستیم.

واژگان کلیدی: روزهای آلوده، تحلیل همدیدی، مشهد.

مقدمة

فضایی» (Sheridan, ۲۰۰۲) از ردیابی پسگرد ذرات معلق نیز استفاده شد. نتایج تحقیق بیانگر آن است که روش ترکیبی یادشده، نتایجی کامل‌تر و دقیق‌تر را در قیاس با بکارگیری مجزای هریک از روش‌های فوق در پی خواهد داشت. بکارگیری روش ترکیبی، بخصوص در تعیین منشأ آلودگی‌های کوتاه مدت (مقیاس روزانه)، کارایی بالایی را از خود نشان داده است. در ایران نیز (علیجانی، ۱۳۸۴؛ ۱۳۸۲) با استفاده از روش‌های تحلیل کتی به شناسایی تیپ‌های همدیدی مؤثر بر آلودگی هوای تهران پرداخت. ایشان در بررسی‌های خود با بهره‌گیری از تحلیل خوش‌ای و تحلیل مؤلفه‌های اصلی، تعداد ۶ تیپ همدیدی برای روزهای آلوده‌ی شهر تهران استخراج نمود. نتایج بیانگر آن است که عمدۀ روزهای آلوده شهر تهران به ماه‌های پاییزی تعلق داشته و در عین حال، تیپ‌های گردش و اچرخندی (تیپ‌های مداری و واچرخند مهاجر) بیش از سایر تیپ‌های گردشی در بروز روزهای آلوده نقش ایفاء نموده‌اند. (بیدختی و شرعی پور، ۱۳۸۸) به بررسی نقش شرایط هواشناختی ترازهای بالای جو بر قوع روزهای دارای آلودگی حاد در شهر تهران پرداختند. یافته‌ها حکایت از آن دارد که محور جت جنب حاره نقش مهمی در بروز بیشینه و کمینه آلودگی‌ها در شهر تهران دارد. بدین ترتیب که در روزهای آلودگی حاد، محور جت جنب حاره امتدادی نصف النهاری به خود گرفته و در ترازهای فوقانی و میانی جو با استقرار پیشته‌ای بر روی منطقه همراه می‌شود. در مقابل، در روزهای کمینه آلودگی، جت با استقرار ناوه‌ای بر روی خاورمیانه همراه گشته و در امتداد مداری گسترش می‌یابد. نکته دیگر آن، آلودگی‌های حاد شهر تهران در درجه اول به افزایش غلظت ذرات معلق (PM₁₀) مربوط می‌شود. (عزمی و همکاران، ۱۳۹۲) با استفاده از الگوهای همدیدی جوبه بررسی تاثیر آن درشدت جزیره گرمایی شهر تهران پرداختند. تحقیقات انجام شده در رابطه با آلودگی‌ها در شهر مشهد، بیانگر آن است که علیرغم افزایش غلظت آلاینده‌های جوی و بروز پدیده حاد آلودگی‌ها در این شهر، پدیده یادشده در کلانشهر مشهد کمتر مورد توجه محققین قرار گرفته و به همین جهت جنبه‌های مختلف این معضل محیطی چه در مقیاس محلی و چه در مقیاس منطقه‌ای کمتر آشکار گردیده است. از نخستین تحقیقات انجام شده می‌توان به طرح جامع آلودگی‌ها در شهر مشهد در سال ۱۳۷۷ اشاره نمود. و می‌توان به بررسی آلودگی‌ها ناشی از استقرار ۳ نیروگاه در حاشیه شهر مشهد، پژوهش (موسوی و همکاران، ۱۳۸۲) درمورد میزان انتشار ذرات معلق در کارخانجات تولید آسفالت در حاشیه شهر مشهد (منصوری و علی‌نژاد، ۱۳۸۸) ارزش گذاری اقتصادی آلودگی‌ها در شهر مشهد (قربانی و فیروز زارع، ۱۳۸۸) و بررسی و اندازه‌گیری منابع آلودگی‌هوای شهر مشهد (فهیمی فرد و افشار، ۱۳۸۹) اشاره نمود. آنچه مسلم است تعداد پژوهش‌هایی که بطور مستقیم و یا غیر مستقیم نقش شرایط اقلیمی و هواشناختی در آلودگی‌هوای شهر مشهد را مورد توجه قرار داده‌اند بسیار محدود و انگشت شمارند. از آن جمله، (علیجانی و نجفی نیک، ۱۳۸۸) وارونگی‌های دمایی شهر مشهد را از منظر همدیدی مورد توجه قرار داده‌اند، در پژوهش یادشده با استفاده از داده‌های جو بالای ایستگاه مشهد، تعداد ۳۲۴ روز دارای وارونگی دمایی برای یکدوره ۱۷ ساله (۱۹۷۷-۱۹۹۳) استخراج گردید. داده‌های شبکه بندی شده فشار تراز دریا برای روزهای فوق با استفاده از روش‌های تحلیل عاملی و تحلیل خوش‌ای مورد پردازش قرار گرفت و در نهایت وارونگی‌های دمایی شهر مشهد در ارتباط با ۷ تیپ گردشی طبقه بندی شد. یافته‌ها حکایت از آن دارد که شدت و فراوانی وقوع وارونگی‌های دمایی در ایام سرد سال به بیشینه خود رسیده و در عین حال در این دوره از سال وارونگی‌های دمایی شهر مشهد از تداوم و پایداری بیشتری در قیاس با سایر فصول سال برخوردارند. همچنین (جهانشیری، ۱۳۸۹) با استفاده از داده‌های روزانه منواکسیدکرین و ذرات معلق (PM₁₀) برای یکدوره یک ساله (سال ۱۳۸۸)، سامانه‌های فشاری مؤثر بر افزایش آلودگی‌ها در شهر مشهد را مورد بررسی قرار داد. برای انجام بررسی، از داده‌های ۸ ایستگاه سنجش آلودگی‌ها که درسطح شهر مشهد پراکنده گردیده‌اند، استفاده شد. نتایج بررسی منجر به شناسایی پنج الگوی همدیدی برای روزهای آلوده در کلانشهر

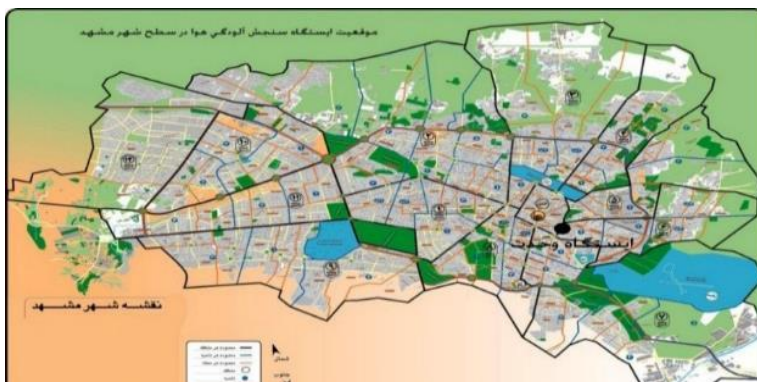
مشهدگردید که در میان الگوهای تعیین شده، سامانه های کم فشار نیز از نقش قابل توجهی برخوردار بوده اند. در یکی از جدیدترین پژوهش های صورت گرفته؛ (صادقی و همکاران ۱۳۹۳) روزهای بسیار آلوده در شهر مشهد را با بهره گیری از یک روش ترکیبی مورد تجزیه و تحلیل قرار دادند. یافته های این تحقیق بیانگر آن است که روزهای بسیار آلوده در شهر مشهد در قالب چهار الگوی گردشی اصلی شامل: الگوی ترکیبی پرفشارسیبری- پشته جنب حاره، پرفشار مهاجر، پشته جنب حاره و الگوی چرخدن، قابل طبقه بندی می باشند. در الگوی ترکیبی پرفشار سیبری-پشته جنب حاره، تسلط همزمان زبانه های پرفشار سیبری در ترازهای زیرین و پشته جنب حاره در وردسپهر میانی سبب بروز روزهای بسیار آلوده گردیده است. در الگوی پرفشار مهاجر، استقرار پشته ای قوی در وردسپهر میانی و تسلط مرکز گردش و اچرخدنی در وردسپهر زیرین بجانب شرقی دریای خزر، ظهور همزمان چند لایه وارونگی در نیمرخ قائم جو را سبب گردیده است. الگوی پشته جنب حاره، تیپ وارونگی فروننشستی را در دوره گرم سال به نمایش می گذارد. در مقابل، در الگوی چرخدن، بروز روزهای بسیار آلوده، ناشی از توان جو در برداشت، انتقال و پخش گردوغبار و ذرات معلق است که بواسطه ناپایداری و صعود گستردگی هوا به همراه عدم تغذیه رطوبتی مناسب در چرخدندهای عبوری حاصل می گردد. بر اساس گزارشات موجود شهر مشهد در ۱۴۰۷ نوامبر ۲۰۰۷ در طی یک دوره چند روزه آلودگی بسیار شدیدی را تجربه نموده است. این دوره آلوده از جهات مختلف بسیار برجسته بوده و انجام یک مطالعه مستقل و دقیق را طلب می نماید. انجام یک بررسی دقیق و جامع از نقش فرآیند های جوی والگوهای منطقه ای گردش جو بر پیدایش این دوره بسیار آلوده می تواند به نحو مطلوبی ساختار آلودگی بسیار شدید را در کلان شهر مشهد آشکار سازد. بر این اساس هدف پژوهش حاضر بررسی ساختار گردش جو منطقه و تحلیل مقیاس همدیدی شرایط منجر به وقوع روزهای بسیار آلوده نوامبر ۲۰۰۷ در شهر مشهد می باشد.

داده ها و روش کار

به منظور تحلیل همدیدی روزهای با هوا بسیار آلوده از یک روش تحلیل همدیدی ترکیبی استفاده شد. از منظر روش شناسی، مطالعه حاضر از رویکرد همدیدی «محیط به گردش» سود جسته (یارنال، ۱۹۹۳؛ علیجانی، ۱۳۸۱) و با توجه به محدود بودن روزهای بسیار آلوده در شهر مشهد، از روش تحلیل همدیدی «دستی (Subjective)» جهت پردازش داده ها و تحلیل وضعیت جوی حاکم استفاده نموده است.

در پژوهش حاضر از چهار دسته داده استفاده شد. این داده ها شامل داده های آلودگی ثبت شده در ایستگاه های سنجش آلودگی هوا، داده های رقومی جوی، داده های ایستگاه جو بالا و خروجی های مدل HYSPLIT جهت ردیابی ذرات معلق در جو می گردد. داده های آلودگی هوا مربوط به ایستگاه وحدت واقع در مرکز شهر مشهد بوده (شکل ۱)، که از سازمان حفاظت محیط زیست خراسان رضوی اخذ گردیده است. آلينده ها شامل منوكسیدکربن، دی اکسید نیتروژن، دی اکسید گوگرد، ازن و ذرات معلق (PM₁₀) می باشند که در مقیاس روزانه و برای یک دوره آماری ۷ ساله (۱۳۹۰-۱۳۸۴) تهیه و مورد پردازش قرار گرفته است. در بررسی وضعیت کیفیت هوا در سطح شهر مشهد اشاره به این نکته ضروری است که شهر مشهد تا سال ۱۳۸۸ تنها از یک ایستگاه سنجش آلودگی هوا (ایستگاه وحدت) برخوردار بوده و متأسفانه از تعداد ۱۰ ایستگاه موجود برای سنجش آلودگی هوا، تنها ایستگاه وحدت از طول دوره آماری مناسب برای مطالعه برخوردار بوده است. بر این اساس، مطالعه حاضر تنها با استفاده

از داده های آلودگی ثبت شده در ایستگاه وحدت به انجام رسیده و از بهره گیری داده های سایر ایستگاه ها به جهت کوتاه بودن طول دوره آماری صرف نظر گردیده است برای مطالعه شرایط جواز داده های دوباره تحلیل شده مرکز ملی پیش بینی محیطی / مرکز ملی پژوهش جوی (NCEP/NCAR) با تفکیک افقی $2/5 \times 2/5$ درجه (Kistler,et al Kalmay, ۲۰۰۱؛ ۱۹۹۶ et al) استفاده شد. داده های جوی شامل فشار تراز دریا، ارتفاع ژئوپتانسیل، سرعت قائم و مؤلفه های مداری (u) و نصف النهاری (v) باد برای ترازهای مختلف جواز ۴۸ ساعت قبل و در حدفاصل زمانی ۶ ساعته می باشد. علاوه بر آن از داده های جو بالای ایستگاه مشهد (فروگاه مشهد) برای دوره مشابه استفاده شد. داده های جو بالا از سایت دانشگاه وایومینگ (<http://weather.uwyo.edu/upperair/sounding.html>) برای روزهای مورد مطالعه اخذ گردیده و شامل دمای هوا، دمای نقطه شنبم، جهت و شدت باد و شرایط پایداری و ناپایداری جو (بر اساس منحنی های اسکیوتی - logP) می گردد. این داده ها برای ایستگاه مشهد تنها برای ساعت صفر گرینویچ موجود می باشند. از خروجی های مدل HYSPLIT نیز به عنوان داده های تکمیلی برای ردیابی ذرات معلق در روزهای ۱۵ نوامبر استفاده شد. در این مطالعه نسخه ۴.۹ مدل HYSPLIT مورد استفاده قرار گرفت.



شکل ۱) موقعیت ایستگاه وحدت در سطح شهر مشهد (منبع مهندسان مشاور نقش پیرامون)

از منظر روش شناسی، پژوهش حاضر از یک روش همدیدی ترکیبی برای شناسایی نقش الگوهای گردش جو بر وقوع روزهای بسیار آلوده در مشهد استفاده نموده است. پژوهش در چند مرحله به شرح زیر به انجام رسیده است:- در نخستین مرحله از تحقیق با بهره گیری از داده های آلودگی ثبت شده در ایستگاه وحدت (شکل ۱)، وضعیت آلودگی هوا در شهر مشهد برای یک دوره ۷ ساله مورد بررسی قرار گرفت. و پس از تجزیه و تحلیل آماری، روزهای بسیار آلوده ($\text{PSI} > 200$) در مشهد شناسایی گردید. با توجه به این که هدف از مطالعه حاضر تبیین ساختار گردش جو در مقیاس همدیدی برای یک دوره با بالاترین میزان غلظت آلینده های هوای شهری در سطح شهر مشهد بوده است؛ لذا روزهای ۱۳ و ۱۴ نوامبر ۲۰۰۷ (۲۲ و ۲۳ آبان ۱۳۸۶) که بر اساس بررسی انجام شده بالاترین میزان آلودگی جوی را داشته است، جهت مطالعه انتخاب گردید. در مرحله بعد با بهره گیری از داده های رقومی دوباره تحلیل شده از مراکز ملی پیش بینی محیطی / مرکز ملی پژوهش جوی (NCEP/NCAR) با تفکیک افقی $2/5 \times 2/5$ درجه (کالانی و همکاران، ۱۹۹۶)، الگوی جریان و شرایط جوی حاکم از سه روز قبل از

وقوع روز آلووده به صورت ۶ ساعته مورد تجزیه و تحلیل قرار گرفت. با بهره گیری از داده های رقومی یادشده، نقشه های فشار تراز دریا، ارتفاع ژئوپتانسیل ترازهای ۸۵۰ و ۷۰۰ هکتوپاسکال، باد برداری، توایی نسبی، امگا به صورت ترکیبی برای دوروز بسیار آلووده تولید شد. سپس نقشه ها مورد تجزیه و تحلیل و مقایسه قرار گرفت و الگوی همدیدی غالب در زمان وقوع آلوودگی شدید در سطح شهر مشهد تعیین گردید. سپس به منظور فراهم نمودن یک دید عمیق تراز فرآیندهای جوی منجر به وقوع روز بسیار آلووده، از یک سری داده های مکمل و پردازش های تکمیلی استفاده شد. بر این اساس، ابتدا ذرات معلق در این دو روز آلووده با بهره گیری از یک مدل لاغرانژی و به روش پسگرد رديابي شد. سپس با استفاده از داده های جو بالاي ایستگاه مشهد، شرایط ترموديناميکي حاكم در دوره مطالعه مورد تجزیه و تحلیل قرار گرفت. بررسی ترکیبی مؤلفه های فوق، تفکيك دقیق تراز الگوی گرددی اولیه را مکان پذیر ساخت. با بهره گیری از داده های جو بالاي ایستگاه مشهد، شرایط جوی در مقیاس محلی برای این دوروز بسیار آلووده بررسی شد. تجزیه و تحلیل داده های فوق از این منظر دارای اهمیت است که در کنار بررسی های همدیدی، خصوصیات مقیاس محلی پدیده آلوودگی هوا ارزیابی می گردد. با استفاده از داده های جو بالا، شرایط پایداری و ناپایداری جو، وجود و یا عدم وجود وارونگی دما، نوع و سطح وارونگی و جهت و شدت باد برای هریک از این دوروز مورد بررسی قرار گرفت. برای این منظور با استفاده از داده های متنه دانشگاه وایومینگ، منحنی اسکیوتی^{logP} به تفکيك برای هر یک از روزهای آلووده تهیه شد. در این تحقیق از خروجی های یک مدل رديابي ذرات معلق برای مطالعه نحوه انتقال ذرات معلق در روزهای آلووده استفاده شد. بررسی های سابق حکایت از آن دارد که افزایش غلظت آلاینده ها و پیدايش روزهای سا آلوودگی بالا، ارتباط تنگاتنگی با انتقال و پخش ذرات و آلاینده ها در مقیاس محلی و یا منطقه ای دارد. بر این اساس، جهت تعیین نحوه انتقال و پخش ذرات در طی روزهای بسیار آلووده در شهر مشهد از یک مدل لاغرانژی^۱ با امکان رديابي پسگرد ذرات در ترازهای مختلف جو موسوم به HYSPLIT^۲ استفاده شد (Draxler and Rolph ۲۰۱۱). برای مسیریابی پسگرد، ذرات معلق در ایستگاه مشهد در زمان اوج آلوودگی در نظر گرفته شد. در این مطالعه نسخه ۹.۴ مدل HYSPLIT مورد استفاده قرار گرفت و ذرات در دو سطح ۱۰۰۰، ۱۰۰۰ متری از سطح زمین و در حداقل زمانی ۶ ساعته تا ۴۸ ساعت قبل رديابي شدند. برای اجرای مدل از مجموع داده های FNL استفاده شد. داده های FNL در واقع داده های NCEP هستند که توسط لبراتوار منابع هوا و استه به NOAA مورد پردازش مجدد قرار گرفته است. این داده ها با قدرت تفکيك افقی 1×1 درجه، برای ۲۶

^۱-Lagrangian^۲-HYbrid-Single Particle Lagrangian Integrated Trajectory (HYSPLIT)

۱- در هوشمناسی دینامیک و به طریق اولی در مکانیک سیالات دورهایفت اصلی در مطالعه سیالات وجود دارد. رهایفت اولی و رهایفت لاغرانژی. یک مثال ساده برای درک تفاوت این دورهایفت می تواند بررسی گردش هوا در امتداد نصف النهاری باشد. برای این اساس هنگامیکه ما یک مدل سه سطحی از گردش جو را در هر نیمکره تصور کنیم در عین حالی که تمامی ذرات را در امتداد نصف النهاری در نظر می گیریم. در آن واحد برای هر ذرده یک موقعیت ثابت فرض می کنیم که بدین ترتیب با استفاده از رهایفت اولی یک مدل سه سطحی از گردش جو در هر نیمکره تصور نموده ایم که مادره ای را (یا بسته هوا) از پروردگریم و آن ذرده را ترسیدن به مقصد تعییب نمائیم و یا به عبارتی در صدد تصویرسازی حرکت یک ذرده دریک باره زمانی معین باشیم. در واقع برای رهایفت لاغرانژی استفاده نموده ایم. این رهایفت در بررسی آلوودگی هوا مسیریابی چرخنده اسن یا بی هوا کاربردهای گسترده ای دارد. آنچه که در رهایفت لاغرانژی پس از انتخاب ذرده در موقعیت مکانی زمانی خاص، حرکت آن را در گام های زمانی دلخواه به سمت زمان های آینده و یا به سمت زمان های گذشته رهایفت نمایند.

تراز فشاری (۱۰۰-۱۰۰۰ هکتوپاسکال) و با گام زمانی ۶ ساعته از جولای ۱۹۹۹ در دسترس می باشند. داده های تحلیل شده عملیاتی مقیاس جهانی نهایی NCEP یا بطور مختصر (Final) از سامانه یکپارچه سازی داده های جهانی (GDAS^۳) برای تهیه داده های اولیه ورودی به سیستم استفاده می نماید. سامانه GDAS نیز وظیفه جمع آوری داده های مشاهداتی از سراسر جهان را با استفاده از سامانه ارتباط از راه دور (GTS^۴) و سایر منابع به صورت بسیار وقفه و پیوسته برعهده دارد. در نهایت داده های FNL با مدلی مشابه مدلی که مرکز ملی پیش بینی محیطی برای تولید داده های سامانه پیش بینی جهانی (GFS^۵) استفاده می کند تولید می گردد (Stunder, ۱۹۹۷). بدین ترتیب برای دوره مطالعه، نقشه های مسیر پسگرد انتقال ذرات تهیه شد و روزهای آلوده در شهر مشهد از منظر نحوه انتقال ذرات نیز بررسی شد. در مرحله نهایی، با ترکیب نتایج حاصل از تحلیل های همدیدی، بررسی های محلی داده های جو بالا و ردیابی ذرات در مدل HYSPLIT، الگوی اصلی گردش جو در ارتباط با روزهای بسیار آلوده در مشهد شناسایی شد. شایان ذکر است در طراحی روش فوق از پژوهش صادقی و همکاران (۱۳۹۳) بهره گرفته شد.

شرح و تفسیر و نتایج

- بررسی وضعیت آلودگی هوای در ماه نوامبر ۲۰۰۷

بررسی وضعیت آلودگی هوادرطی دوره ۷ ساله و بررسی تمامی آلاینده ها بیانگر آن است که سال ۲۰۰۷ آلوده ترین سال دوره موردمطالعه در شهر مشهد بوده است. بطوری که سال یادشده هم از جهت شرایط متوسط آلودگی و نسبت روزهای آلوده (جدول ۱) وهم از نظر تعداد روزهای باآلودگی بالا(شکل ۲) بالاترین ارقام رابه خود اختصاص داده است. درصد روزهای آلوده برای سال ۲۰۰۷، ۷/۹۸ می باشد. از اطلاعات فوق می توان به این نتیجه رسید که تغییرات سال به سال میزان آلودگی هوادر شهر مشهد بیش از آن که ناشی از فعالیت های انسانی باشد، تحت تاثیر واداشت های بزرگ مقیاس اقلیمی و تغییرات سال به سال الگوهای گردش جو حاصل می گردد. لازم به ذکر است که ذرات معلق دارای بیشترین مقدار از لحاظ غلظت در میان سایر آلاینده در این سال می باشد.

جدول ۱: تعداد و درصد سالانه روزهای آلوده در شهر مشهد (۲۰۱۱-۲۰۰۵)

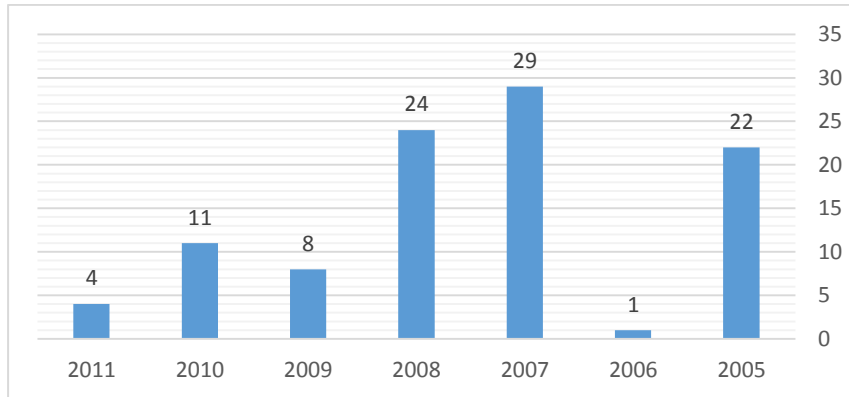
۲۰۱۱			۲۰۱۰			۲۰۰۹			۲۰۰۸			۲۰۰۷			۲۰۰۶			۲۰۰۵			سال
n	n p	NP %	/																		
۴	۲۲	۱/۲۴	۱	۳۰	۱/۶۴	۸	۳۳	۱/۳۸	۲	۳	۱/۱۴	۲	۳۶	۱/۹۸	۱	۱۸	۱/۵۵	۲	۳۵	۱/۱۴	/
۲	۱	۱	۲	۲	۳	۵	۲	۴	۳۶	۷	۹	۳	۷	۱	۰	۲	۸	۶			

N^۱ تعداد روزهایی که هوای آلوده بوده (براساس شاخص np) تعداد روزهای دارای آمار، NP% در صدر روزهای باهوای آلوده

۳-Global Data Assimilation System

۴-Global Telecommunications System

۵-Global Forecast System



شکل ۲: نمودار تغییرات سالانه تعداد روزهای با هوای آلوده شهر مشهد

جهت فراهم نمودن درک مناسب تری از وضعیت حاکم در روزهای ۱۳ و ۱۴ نوامبر ۲۰۰۷، فراوانی ماه به ماه تعداد روزهای آلود در شهر مشهد در کنار تغییرات روزانه آلودگی هوادر ماه نوامبر سال یاد شده در جدول ۲ نشان داده است. با توجه به جدول ۳ ماه نوامبر با ۱۳ روز آلوده، بیشترین تعداد را نسبت به ماههای دیگر دارا می باشد.

جدول ۲: تعداد روزهای آلوده در طی ماههای سال ۲۰۰۷

آوریل	مای	ژوئن	جولای	اگوست	سپتامبر	اکتبر	نوامبر	دسامبر	ژانویه	فوریه	مارس
۰	۱	۱	۰	۲	۱۳	۰	۲	۱	۰	۴	۵

و بررسی تعداد روزهای دارای آلودگی حدی در طی ماه های نوامبر در طی هفت سال هم نشان دهنده این است که ماه نوامبر ۲۰۰۷ دارای بیشترین تعداد روزهای آلوده می باشد. (جدول ۳)

جدول ۳: تعداد روزهای آلوده ماه نوامبر سالهای ۲۰۰۵-۲۰۱۱

نومبر ۲۰۰۵	نومبر ۲۰۰۶	نومبر ۲۰۰۷	نومبر ۲۰۰۸	نومبر ۲۰۰۹	نومبر ۲۰۱۰	نومبر ۲۰۱۱
۵	۰	۱۳	۱	۰	۰	۰

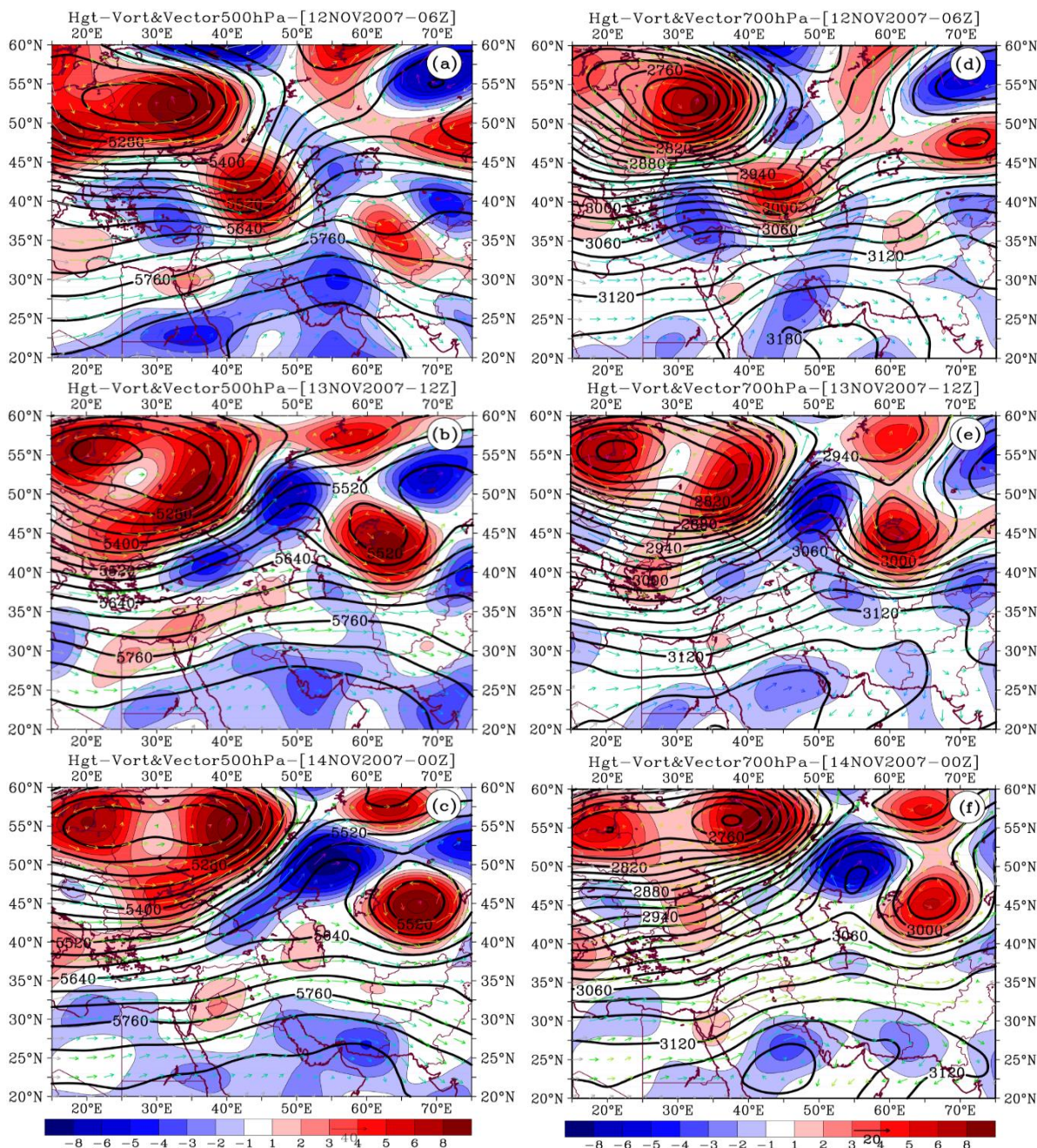
بنابراین با توجه به اینکه پژوهش حاضر بررسی آلودگی حدی در دوره ۷ ساله می باشد، و چون سال ۲۰۰۷ بیشترین روزهای آلوده دارای تداوم رابطه خود اختصاص داده است، بنابراین روزهای ۱۴ و ۱۳ نوامبر ۲۰۰۷ به عنوان حادثه ای روز آلوده انتخاب و مورد بررسی قرار گرفت.

- تحلیل همایدی روزهای بسیار آلوده در شهر مشهد

پس از بررسی وضعیت فشار، تواوی نسبی، مقادیر سرعت قائم، شدت و جهت جریان و مناطق همگرایی و واگرایی هوا در ترازهای مختلف جو، الگوهای همایدی اولیه برای دوره مورد مطالعه شناسایی شد. اما به جهت فراهم نمودن در کی عیق تراز ساختار گردش جو، علاوه بر مؤلفه های یاد شده، داده های جو بالا، و خروجی های مدل HYSPLIT نیز مورد استفاده قرار گرفت. تجزیه و تحلیل ترکیبی تمامی مؤلفه های فوق، در نهایت سبب شناسایی الگوی گردشی روزهای آلوده در شهر مشهد گردید. الگوی به دست آمده برای روزهای ۱۳ و ۱۴ نوامبر ۲۰۰۷ الگوی پرفشار مهاجر می باشد. در این الگو افزایش بیش از حد غلظت آلاینده ها در شهر مشهد، عمدها نتیجه گسترش نصف النهاری امواج

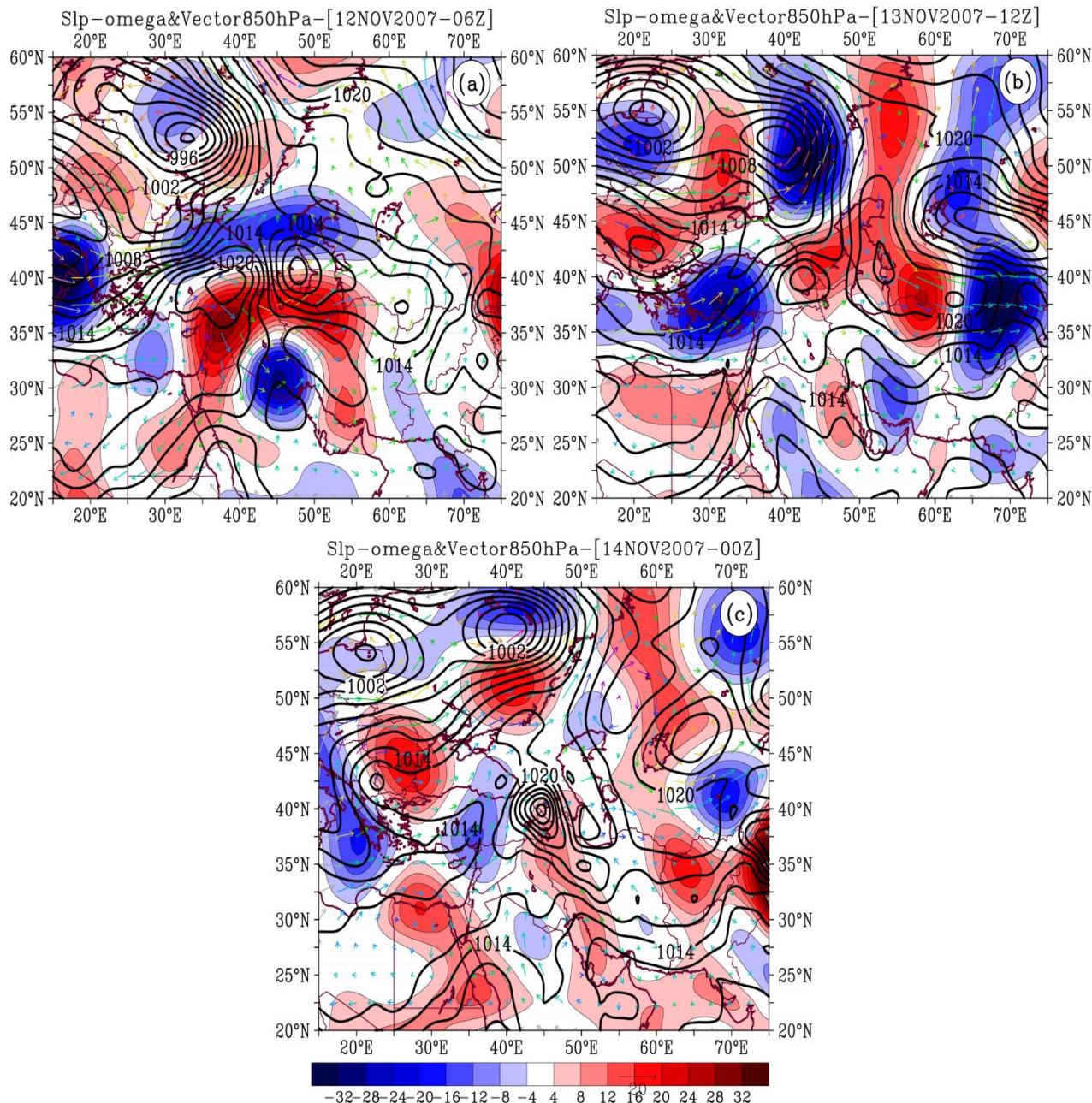
غربی در منطقه اوراسیا بوده است. در چنین شرایطی و در مراحل عبور موج از روی منطقه، استقرار پشته‌ای قوی در محدوده رشته کوه های اورال و دریای خزر با یک اریب شرق سو، شکل گیری مرکز گردش واچرخندی را در حدفاصل دریای خزر تا بخش های شمالی خراسان در ترازهای زیرین به همراه داشته، که در نهایت موجب پایداری هوا و افزایش غلظت آلاینده ها در منطقه گردیده است. با توجه به بررسی نقشه های تراز ۵۰۰ هکتوباسکال از یک روز قبل از روزهای آلووده تا یک روز بعد از گذشت پرشمار مهاجر، یک ناوه نسبتاً عمیق همراه با کم ارتفاع بریده در محدوده شرق اروپا و دریای سیاه تسلط یافته که در جانب راست خود و بر روی نیمه شرقی دریای خزر با گسترش یک پشته همراه گردیده است. (شکل های ۳a و ۳b). پشته شرق خزر به واسطه گسترش شمال سوی پر ارتفاع جنوب حاره بر روی منطقه خاورمیانه و یکی شدن آن با پشته یاده شده، یک محدوده گردش واچرخندی گستردۀ را در ترازهای میانی جو در روز ۱۲ نوامبر بر روی بخش‌های وسیعی از ایران ایجاد نموده است. استقرار این پشته جنوب حاره ای و پشته شرق خزر سبب نزول گستردۀ هوا در بخش های وسیعی از شمال ایران و غرب خاورمیانه گردیده است (شکل ۴a). به طور همزمان شکل گیری یک ناوه همراه با گردش چرخندی در محدوده شرق دریاچه آرال سبب تشکیل یک سامانه کم فشار در این محدوده و در شرق پشته شده است (شکل ۴b). نکته دیگری که از نقشه های تراز میانی برای روز ۱۲ نوامبر می‌توان اشاره نمود این است که منطقه شمال شرق کشور در این روز در شرایط انتقال از حالت گردش چرخندی به حالت گردش واچرخندی بوده است. به این معنی که در ساعات اولیه روز ۱۲ نوامبر نفوذ ناوه دریاچه آرال سبب تسلط یک گردش چرخندی در منتهی‌الیه شمال شرق کشور گردیده است (شکل ۴c) که در طی ساعات بعداً ظهر به جهت تقویت پشته روی دریای خزر و گسترش شرق سوی آن، منطقه شمال شرق ایران به تدریج گردش واچرخندی را تجربه نموده است. در ساعات اولیه روز ۱۳ نوامبر تقویت قابل ملاحظه پشته موج غربی و تداوم گسترش شمال سوی پرشمار جنوب حاره ای سبب تسلط گردش واچرخندی بر روی تمامی مناطق واقع در حدفاصل دریای سیاه و دریای خزر و مناطق شمال و شمال شرق ایران گردیده است. (شکل ۴d، ۴e، ۴b) در این زمان به واسطه تسلط گردش واچرخندی و شکل گیری یک مرکز پرشمار در حدفاصل دریای خزر و شمال شرق ایران (شکل ۴b) تمامی مناطق واقع در شمال شرق ایران، منطقه دریای خزر تا کوه های اورال یک نزول قوی در ترازهای زیرین جو را تجربه نموده اند (شکل ۴b). این امر سبب پایداری هوا در محدوده مورد مطالعه و شهر مشهد (تفی گرام ۱۳ نوامبر شکل ۴b) گردیده است. در واقع استقرار پشته مهاجر موج غربی و نزول دینامیکی ناشی از آن، ضمن ایجاد پایداری هوا غلظت بالای آلاینده های جو را در مشهد به دنبال داشته است. نکته قابل ذکر آن که تقویت و گسترش شمال سوی پشته سبب تقویت گردش چرخندی مستقر بر روی دریاچه آرال شده است و به طور همزمان یک مرکز کم ارتفاع بسته را در عرض های بالاتر و در شرق پشته و در آسیای مرکزی شکل داده است که به واسطه گسترش پشته موج غربی اثرات آن بر روی شمال شرق

ایران ناممکن شده است (شکل ۳e, ۳b). نتیجه تسلط چنین شرایطی استقرار یک مرکز پرفشا با هم فشار بسته ۱۰۲۲ هکتوپاسکال بر روی منطقه شمال شرق ایران است که با مقادیر امگای حدود ۳۰۰۰ پاسکال برثانیه در این منطقه همراحت است (شکل ۴b).



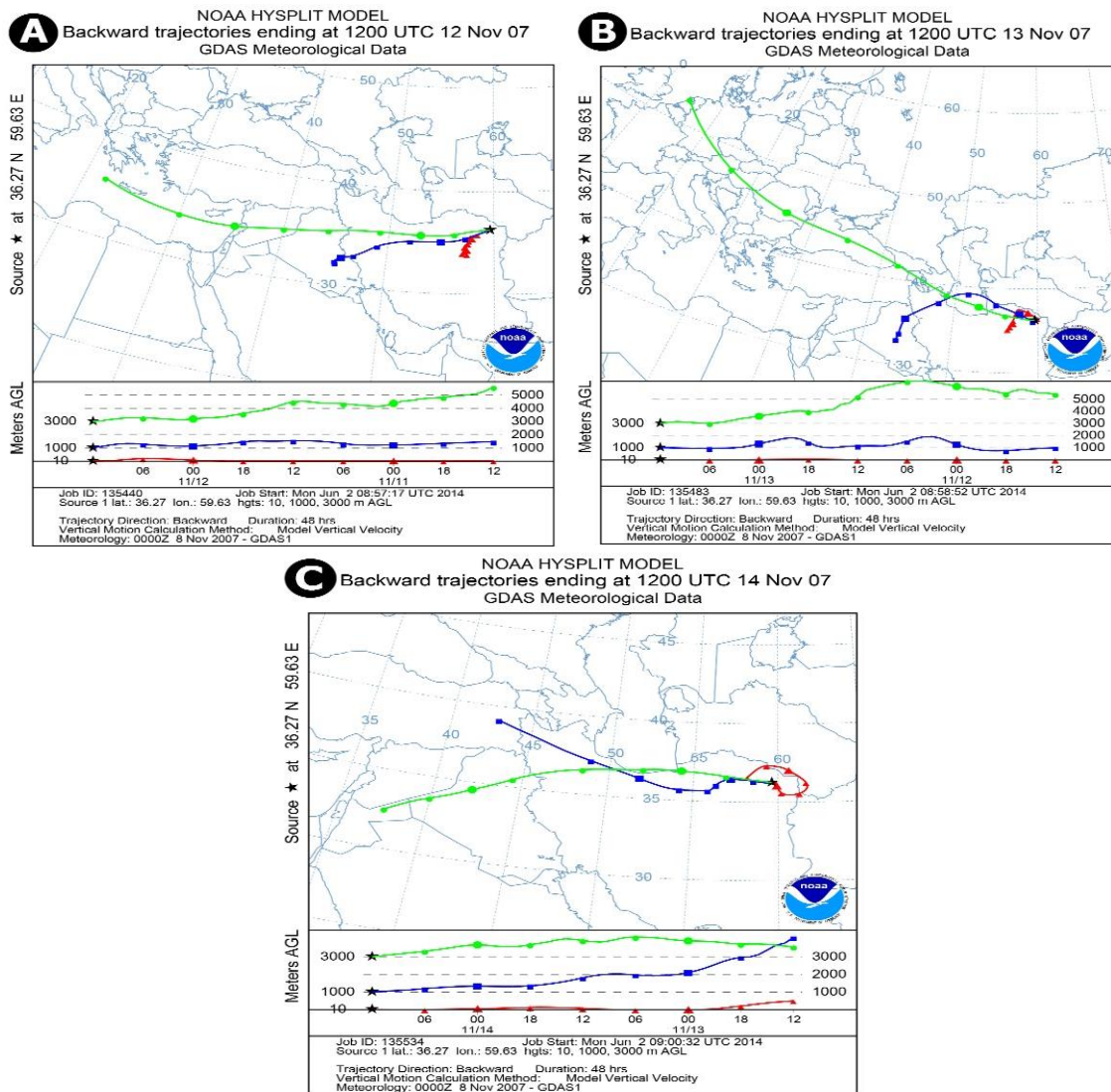
شکل ۳) وضعیت همدیدی در الگوی پرفشارمهای آلوهه. ارتفاع ژئوپتانسیل (کنتورها با حدفاصل ۲۵ ژئوپتانسیل متر)، تاوایی نسبی (رنگ ها 10^{-4} s^{-1} *) و باد برداری (پیکان های سبزرنگ) در تراز ۵۰۰ (سمت چپ) و تراز ۷۰۰ هکتوپاسکال (سمت راست).

شرایط یادشده در تمامی ساعت‌های روز ۱۳ نوامبر بر روی شمال شرق ایران حاکم بوده و در روز ۱۴ نوامبر تداوم یافته است که در این روز همانطوری که شکل (۳c, ۳f) نشان می‌دهند پشته مهاجر موج غربی همچنان در ترازهای میانی بر روی منطقه استقرار داشته و همین امر تداوم گردش واچرخندی و در پی آن تداوم فشار بالا و نزول هوا در محدوده شمال شرق کشور را رقم زده است (شکل ۴c). این امر تداوم پابداری و وارونگی دمای شهر مشهد در پی داشته که غلظت بالای آلاینده‌ها را نیز برای دو روز متوالی سبب گردیده است.



شکل ۴) وضعیت فشار در تراز دریا و سرعت قائم در الگوی پرفشار مهاجر، (a) ۱۲ نوامبر ۲۰۰۷ (b) ۱۳ نوامبر ۲۰۰۷ و (c) ۱۴ نوامبر ۲۰۰۷

در رديابي پسگرد ذرات معلق در مدل HYSPLIT، بيانگر الگوي مشابهی از مسیر ذرات در سه ارتفاع ۱۰-۱۰۰۰ و ۳۰۰۰ متری از سطح زمين می باشد. خط قرمزارتفاع ۱۰۰۰ متری خط آبي ارتفاع ۱۰۰۰- و درنهایت خط سبزارتفاع ۳۰۰۰ متری را شان می دهد. در واقع خروجی های مدل برای اين الگو، تسلط جريانات واچرخندی را در مسیر حرکت ذرات در منطقه شمال شرق ايران نشان می دهد. تسلط پشته جنب حاره ای در محدوده مرکзи ايران تا شمال دریا خزر سبب گردیده تا در روزهای ۱۳ و ۱۴ نوامبر ذرات يك مسیر شرق - جنوب شرق را برای رسیدن به مشهد طی نمایند (شكل ۵).

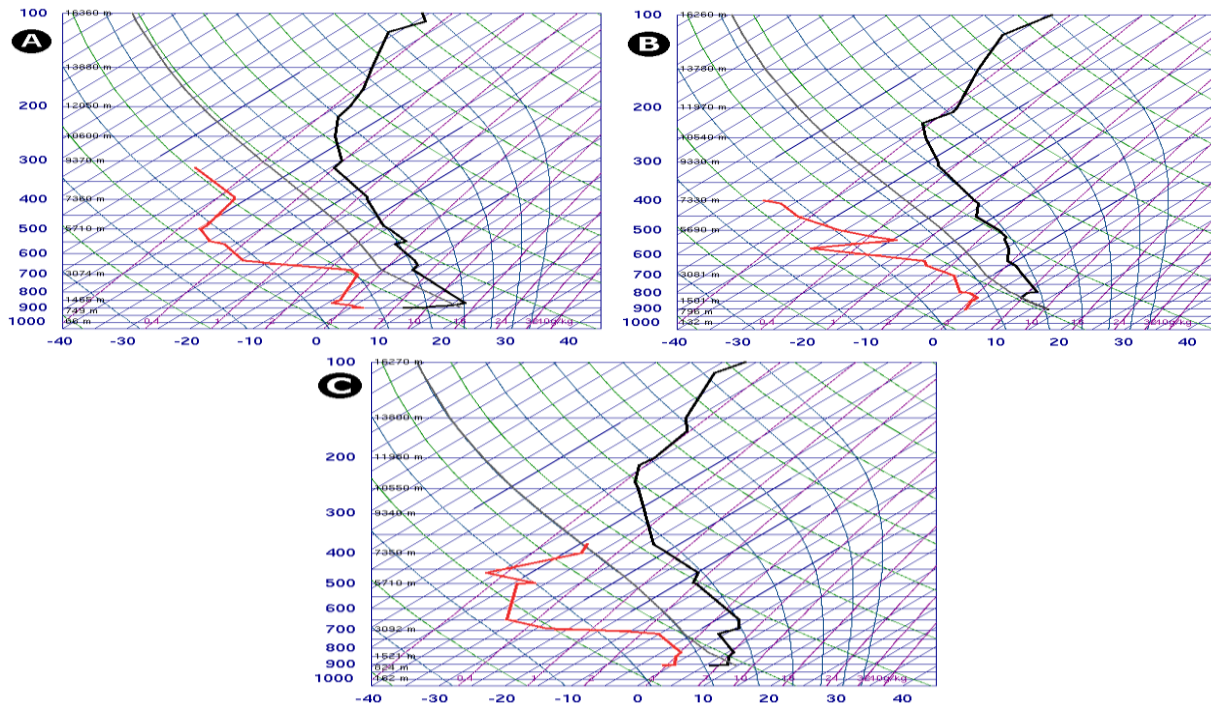


شكل ۵) رديابي ذرات معلق به روش پسگرد برای الگوي پرشارمهاجر برای روزهای (a) ۱۲ نوامبر (b) ۱۳ نوامبر و (c) ۱۴ نوامبر ۲۰۰۷. ذرات در شهر مشهد برای ارتفاع ۱۰۰۰ متری (خط قرمز) و ۳۰۰۰ متری (خط آبي) از سطح زمين از زمان اوچ آلودگی تا ۴۸ ساعت قبل در حدفاصل زمانی ۶ ساعت رديابي شدند.

- تحليل ترموديناميک روزهای بسيار آلوده

بررسی ساختار گرداش جو در مقیاس همدیدی برای روزهای آلوده در شهر مشهد منجر به تشخيص الگوي پرشارمهاجر گردید. در این بخش از تحقیق با استفاده از داده های جو بالای ایستگاه

مشهد (داده های رادیوسوند) و بهره گیری از برخی داده های مکمل، ویژگی های ترمودینامیکی جو در روزهای بسیار آلوده برای الگوی پرفشارمهاجر مورد بررسی قرار گرفت. نتایج این بخش می تواند در کی عمیق تر از ساز و کار حاکم بر آلودگی های حدی در شهر مشهد فراهم نماید. (شکل ۶) وضعیت پایداری و ناپایداری جو و نوع و ارتفاع لایه وارونگی را در نمودارهای اسکیوتی برای ایستگاه جو بالای مستقر در فرودگاه مشهد نشان می دهد. بررسی نمودارهای اسکیوتی مربوط به الگوی پرفشارمهاجر ساختار متفاوتی را در نیمرخ قائم نمایان می سازد. بدین معنی که در تفی گرام روز ۱۲ نوامبر مشاهده یک وارونگی تشعشعی قوی در روز قبل از وقوع آلودگی هستیم. (شکل ۶a) در این روز با توجه به منحنی های دما با افزایش دمادرپایین ترین ترازهای جودرزیتر از ۸۵۰ هکتوپاسکال مواجه هستیم. این در حالی است که در ترازهای بالاتر وارونگی مشخص و برجسته ای در این روز مشاهده نمی گردد. در روز ۱۳ نوامبر وارونگی تیپ تشعشعی (وارونگی محلی) ناپدید گردیده و در عوض یک وارونگی از نوع فرونشستی در حدفاصل تراز ۸۵۰ تا ۷۰۰ هکتوپاسکال ظاهر گردیده است. (شکل ۶b) وقوع این تیپ وارونگی به خوبی استقرار پاشته بر رون حراره را بر روی منطقه شمال شرق ایران و شهر مشهد توضیح می دهد. در روز ۱۴ نوامبر وارونگی فرونشستی روز گذشته به بالاتر از تراز ۷۰۰ هکتوپاسکال جایجا شده و در عین حال یک وارونگی دیگر نیز بالاتر از تراز ۵۰۰ هکتوپاسکال ظاهر گردیده است. مسافت برابر، در مجاورت سطح زمین یک وارونگی تشعشعی نیز مشاهده می شود (شکل ۶).



شکل ۶) نمودارهای اسکیوتی $\log P$ (لگاریتمی فشار) برای ایستگاه رادیوسوند مشهد برای الگوی پرفشارمهاجر در ساعت ۰۰:۰۰ گرینویچ. در تمامی نمودارها، خط های ضخیم سیاه و قرمز به ترتیب معرف دمای هوا و دمای نقطه شبنم می باشند.
<http://weather.uwyo.edu>

نتیجه گیری

در تحقیق حاضر نقش گردش منطقه ای جو و الگوهای فشاردر مقیاس همدیدی در روزهای بسیار آلوود نوامبر ۲۰۰۷ در کلانشهر مشهد مورد بررسی قرار گرفت. در این راستا سازوکار حاکم بر وقوع دوره آلوود بسیار شدید در این شهر با بهره گیری از یک روش ترکیبی مبتنی بر تحلیل های همدیدی، ترمودینامیک و ردیابی پسگرد ذرات معلق، مورد تجزیه و تحلیل قرار گرفت. بررسی های انجام شده یافته های زیر را در پی داشته است: - روزهای ۱۳ و ۲۲ نوامبر ۲۰۰۷ و ۲۳ آبان (۱۳۸۶) در میان روزهای آلوود مشهد بالاترین مقدار غلظت رانشان می دهد. - یافته های تحقیق نشان داد که الگوی همدیدی حاکم دوره بسیار آلوود (۱۴ و ۱۵ نوامبر ۲۰۰۷) الگوی پرشمار مهاجر می باشد. بر این اساس، می توان چنین نتیجه گیری نمود که بر روز آلوودگی های حدی در مشهد بیش از آن که ریشه در عوامل محلی داشته باشد، حاصل بر همکنش شرایط محلی با گردش جو در مقیاس منطقه ای است. به عبارتی، شهر مشهد تنها زمانی روزهای بسیار آلوود را تجربه خواهد نمود که گردش منطقه ای جو شرایط مناسب برای افزایش غلظت آلینده ها را فراهم نماید. آنچه مسلم است اینکه در دوره سرد، آلوودگی های حدی ایجاد شده در شهر مشهد عمده ناشی از تسلط سامانه های برون حاره ای (واچرخنهای مهاجر) می باشد. بررسی توامان تحلیل همدیدی دستی، ردیابی پسگرد ذرات معلق و بررسی شرایط ترمودینامیک جو (رویکرد تحلیل همدیدی ترکیبی)، درکی عمیق تر و در عین حال دقیق تر از شرایط حاکم بر وقوع آلوودگی های حدی در شمال شرق ایران فراهم نموده است. در بررسی خروجی مدل HYSPLIT بیانگر آن است که سامانه پشتۀ مهاجر موج غربی همراه با پشتۀ جنب حاره ای الگوی جریان هوا بر روی شمال شرق ایران در روزهای ۱۳ و ۱۴ نوامبر ۲۰۰۷ کنترل می نماید. مسیریابی ذرات تسلط یک سامانه واچرخندی را بر روی منطقه نشان می دهد. بررسی نمودارهای اسکیوتوی مربوط به الگوی پرشمار مهاجر نیز ساختار متفاوتی را نمایان ساخت به این صورت که روز ۱۲ نوامبر ۲۰۰۷ بایک وارونگی تشعشعی که همراه با افزایش دما بود مواجه گردید و در عرض در روز ۱۳ نوامبر یک وارونگی از نزوع فرونگشتی در حدفاصل تراز ۸۵۰ تا ۷۰۰ هکتوپاسکال ظاهر گردیده و تاباً از تراز ۷۰۰ هکتوپاسکال نیز رسید.

منابع

- انتظاری، علیرضا. ۱۳۸۴. مطالعه آماری و سینوپتیکی آلوودگی هواي تهران، رساله دکتری جغرافیاى طبیعی-گرایش اقلیم شناسی، گروه جغرافیا، دانشگاه تربیت معلم تهران.
- بیدختی، عباسعلی؛ زهرا شرعی پور. ۱۳۸۸. شرایط هواشناختی جو بالا و وضعیت حاد آلوودگی هوا (مطالعه موردی: شهر تهران)، محیط شناسی، ۱-۱۴: ۵۲.
- جهانشیری، مهین. ۱۳۸۹. بررسی آماری و سینوپتیکی آلوودگی هواي مشهد، پایان نامه کارشناسی ارشد جغرافیاى طبیعی-اقلیم شناسی، به راهنمایی علیرضانتظاری، دانشگاه حکیم سبزواری، سبزوار ۵۲-۵۳.

- حجازی جویباری، آزاده. ۱۳۸۷. بررسی آلودگی هوا و ارزیابی کیفیت هوا در اصفهان، پایان نامه کارشناسی ارشد فیزیک، به راهنمایی اسماعیل حسن زاده، دانشگاه اصفهان، اصفهان.
- حسین پور، زینب. ۱۳۹۰. تحلیل همیدی آلودگی هوای شهر تهران با تأکید بر ذرات معلق پایان نامه کارشناسی ارشد جغرافیای طبیعی-اقلیم شناسی، دانشکده جغرافیای دانشگاه تهران به راهنمایی علی اکبر شمسی پور-۲۳-۲۵.
- روزنامه شهرآرا. ۱۳۹۱. طرح جامع کاهش آلودگی هوا مشهد؛ دستورالعمل هست، بودجه نیست! دوشنبه ۲۲ مهر، شماره ۹۶۹-۲.
- رنجر سعادت آبادی، عباس؛ لیلا محمدیان. ۱۳۸۹. مطالعه میانگین الگوهای همیدی بر اساس رخداد غلظت‌های مختلف آلاینده CO در فصول تابستان و پائیز در تهران، پژوهش‌های جغرافیای طبیعی، ۱۲۸-۱۱۱: ۷۲.
- سایت تابناک. ۱۳۹۱. مصاحبه با مشاور وزیر بهداشت جناب آقای آقاجانی، گزارش شماره ۲۹۵۷۶۷: ۱۶ دی ماه ۱۳۹۱، ۲۹۵۷۶۷ (۱). <http://www.tabnak.ir/fa/news/295767>.
- صفوی، یحیی؛ بهلول علیجانی. ۱۳۸۵. بررسی عوامل جغرافیایی در آلودگی هوا تهران. مجله پژوهش‌های جغرافیایی، ۵۸-۱۱۲: ۵۸-۹۹.
- صادقی، سلیمان؛ عباس مفیدی، مهین جهانشیری، رضادوستان. ۱۳۹۳. نقش گردش مقیاس منطقه‌ای جوبروکوع روزهای دارای هوای سیارآلوده در شهر مشهد، جغرافیا و مخاطرات محیطی، شماره دهم، تابستان ۹۳: ۱۰-۱۱.
- عزتیان، ویکتوریا. ۱۳۸۶. بررسی تأثیر عوامل هواشناسی بر روی شاخص کیفیت هوا در شهر اصفهان، رساله دکتری جغرافیای طبیعی-اقلیم شناسی، گروه جغرافیای دانشگاه اصفهان به راهنمایی جواد خوشحال دستجردی.
- عطایی، هوشمند؛ سادات هاشمی نسب. ۱۳۹۰. شناسایی و تجزیه و تحلیل الگوهای تراز میانی جو مؤثر در آلودگی هوا شهر اصفهان، مجله پژوهش و برنامه ریزی شهری، ۲ (۴): ۱۱۲-۹۷.
- علیجانی، بهلول. ۱۳۸۱. اقلیم شناسی سینوپتیک، انتشارات سمت، ۲۰-۵.
- علیجانی، بهلول. ۱۳۸۲. شناسایی تیپ‌های هوایی مؤثر بر آلودگی هوا تهران، سومین کنفرانس منطقه‌ای و اولین کنفرانس ملی تغییر اقلیم، ۲۹ مهر تا ۱ آبان، دانشگاه اصفهان.
- علیجانی، بهلول. ۱۳۸۴. رابطه بین توزیع فشار و تراکم آلاینده‌ها در تهران، پژوهش‌های جغرافیایی، ۱۳۸۸-۱؛ زهانجفی نیک.
- علیجانی، بهلول؛ زهانجفی نیک. ۱۳۸۸. بررسی الگوهای سینوپتیکی اینسورژن در مشهد با استفاده از تحلیل عاملی، مجله جغرافیا و توسعه ناحیه‌ای، ۱۲: ۱۲-۱.
- علیجانی، بهلول؛ عباس مفیدی؛ زین العابدین جعفری‌پور؛ علیرضا بیدختی. ۱۳۹۰. الگوهای گردش جو بارش‌های تابستانه جنوب شرق ایران در ماه جولای ۱۹۹۴، مجله فیزیک زمین و فضا، ۳۷ (۳): ۲۲۷-۲۰۵.
- علیجانی، بهلول. ۱۳۸۲. شناسایی تیپ‌های هوایی مؤثر بر آلودگی هوا تهران، سومین کنفرانس منطقه‌ای و اولین کنفرانس ملی تغییر اقلیم، ۲۹ مهر تا ۱ آبان، دانشگاه اصفهان.
- عزیزی، قاسم؛ علی اکبر شمسی پور؛ مجتبی مهدیان ماه فروردی؛ مرتضی میری. ۱۳۹۲. تاثیر پذیری شدت جزیره گرمایی شهری تهران از الگوهای همیدی جو، مجله محیط شناسی، دوره ۳۹، شماره ۴، فهیمی فرد، محمد؛ فهیمه افشار. ۱۳۸۹. بررسی و اندازه‌گیری آلودگی هوا شهر مشهد، دومین

کنفرانس برنامه ریزی و مدیریت شهری، ۲۹ و ۳۰ اردیبهشت ماه، دانشگاه فردوسی مشهد، ۱۴ قربانی، محمد؛ علی فیروز زارع. ۱۳۸۸. ارزش گذاری ویژگی‌های مختلف آلودگی هوای در مشهد، مجله تحقیقات اقتصادی، ۸۹: ۲۴۱-۲۶۵.

قاسمی، طاهره؛ علیرضا بیدختی؛ عبدالله صداقت کردار؛ فاطمه صحرائیان. ۱۳۸۶. بررسی شرایط همایدی حاکم در چند دوره بحرانی آلودگی هوای شهر تهران، علوم و تکنولوژی محیط زیست، ۹ (۳): ۲۲۸-۲۲۹.

کریمی، صادق. ۱۳۹۱. بررسی پیوند بین گردش اتمسفری در مقیاس هماید و تغییرات غلظت ازون تroposferی در کلانشهر تهران، رساله دکتری جغرافیای طبیعی-اقلیم شناسی، گروه جغرافیای دانشگاه سیستان.

گلریز ضیائی، زهرا؛ حمیدصادقی؛ محمد معتمدی؛ میترا ژاله رجبی. ۱۳۹۰. پیش‌بینی ارزش‌گذاری و ترسیم نقشه آلودگی هوای شهر مشهد؛ مطالعه موردی گاز منوکسید کربن، اولین کنفرانس اقتصاد شهری ایران، مشهد، ۲ و ۳ آذر ماه.

گلباز، سمية؛ مهدی فرزادکیا؛ مجید کرمائی. ۱۳۸۸. بررسی کیفیت بهداشتی هوای تهران در سال ۱۳۸۷ با تکیه بر شاخص کیفیت هوافضای سلامت کار ایران دوره ۶، شماره ۴، زمستان ۸۸.

لشکری، حسن؛ پریسا هدایت. ۱۳۸۵. تحلیل الگوی اینورژن شدید شهر تهران، پژوهش‌های جغرافیایی، ۵۶: ۸۲-۶۵.

مفیدی، عباس. ۱۳۸۶. تحلیل گردش جو تابستانه بر روی جنوب غرب آسیا و ارتباط آن با بارش‌های تابستانه جنوب شرق ایران، رساله دکتری جغرافیای طبیعی-گرایش اقلیم شناسی، دانشگاه تربیت معلم تهران، ۱۶۵.

موسوی، محمد؛ سارا بحرپیما؛ رضا رضازاده. ۱۳۸۲. بررسی آلودگی هوای ناشی از سه نیروگاه موجود در شهر مشهد با استفاده از مدل گوس، چهارمین همایش ملی انرژی، کمیته ملی انرژی جمهوری اسلامی ایران، تهران، ۹.

منصوری، نبی الله؛ جواد علی نژاد. ۱۳۸۸. بررسی کارآیی سیستم‌های کنترل کننده ذرات معلق و تعیین میزان انتشار در کارخانجات آسفالت مشهد، علوم و تکنولوژی محیط زیست، ۱۱(۱): ۹-۱.

مهندسان مشاور فرنهاد. ۱۳۸۷. طرح توسعه و عمران (جامع) کلانشهر مشهد مقدس؛ مطالعات پایه محیط طبیعی، وزارت مسکن و شهرسازی، شهرداری مشهد، ۱۶۷.

واشقی، الهه؛ منصوره زیبایی، (۱۳۸۷)، پیش‌بینی آلودگی هوای شیراز، محیط‌شناسی، سال سی و چهارم، ۴۷: ۷۲-۶۵.

Air Weather Service, ۱۹۹۰. The Use of the Skew-T, log P Diagram in Analysis and Forecasting, Technical report, AWS/TR-۷۹/۰.۰۶, Scott Air Force Base, Illinois ۶۲۲۲۵-۵۰۰۸, ۱۶۴ pp.

Baker, J. ۲۰۱۰. A cluster of long range air transport pathway and associated pollutant concentration within the UK. Atmospheric Environment., ۴۴: ۵۶۳-۵۷۱.

Cheng, C.S., Campbell, M., Li, Q., Li, G., Auld, H., Day, N., Pengelly, D., Gingrich, S., Yap, D. ۲۰۰۷. A synoptic climatological approach to assess climatic impact on air quality in south-central Canada, Part I: historical analysis, Water, Air, and Soil Pollution, ۱۸۲: ۱۳۱-۱۴۸.

- Chen, Z.H., Cheng, S.Y., and Li, J.B., Guo, X.R., Wang, W.H., and Chen, D.S. ۲۰۰۸. Relation between atmospheric pollution processes and synoptic pressure patterns in northern China, *Atmos. Environ.*, ۴۲: ۶۰۷۸-۶۰۸۷.
- Cheng, W.L., Pai, J.L., Tsuang, B.J., and Chen, C.L. ۲۰۱۱. Synoptic patterns in relation to ozone concentrations in west-central Taiwan, *Meteorol. Atmos. Phys.*, ۷۸: ۱۱-۲۱.
- Comrie, A.C. ۱۹۹۰. The climatology of surface ozone in rural areas: a conceptual model. *Progress in Physical Geography*, ۱۴: ۲۹۵-۳۱۶.
- Comrie, A.C., and B. Yarnal. ۱۹۹۲. Relationships between synoptic-scale atmospheric circulation and ozone concentrations in metropolitan Pittsburgh, Pennsylvania, *Atmos. Environ., Part B*, ۲۶: ۳۰۱-۳۱۲.
- Davis, R. E., Kalkstein, L. S. ۱۹۹۰. Using a spatial synoptic climatological classification to assess changes in atmospheric pollution concentrations. *Phys. Geogr.*, ۱۱: ۳۲۰-۳۴۲.
- Davis, RE., Normile, CP., Sitka, L., Hondula, DM., Knight, DB., Gawtry, SP., and Stenger, PJ. ۲۰۱۰. A comparison of trajectory and air mass approaches to examine ozone variability, *Atmos. Environ.*, ۴۴(۱): ۶۴-۷۴.
- Dayan, U., and Levy, I. ۲۰۰۲. Relationship between synoptic-scale atmospheric circulation and ozone concentrations over Israel, *J. Geophys. Res.*, ۱۰۷(D۲۴): ۴۸۱۲, doi:10.1029/2002JD002147.
- Doswell, C. A., III, and E. N. Rasmussen. ۱۹۹۴. The effect of neglecting the virtual temperature correction on CAPE calculations. *Wea. Forecasting*, 9, ۶۲۵-۶۲۹.
- Draxler RR., and Rolph GD. ۲۰۱۱. HYSPLIT (HYbrid Single-Particle Lagrangian Integrated Trajectory), Model access via NOAA ARL READY Website (<http://ready.arl.noaa.gov/HYSPLIT.php>). NOAA Air Resources Laboratory, Silver Spring, MD.
- Flocas, H. Kelessis, A. Helmis,C., Petrakakis, M., Zoumakis, M., and Pappas, K. ۲۰۰۹. Synoptic and local scale atmospheric circulation associated with air pollution episodes in an urban Mediterranean area, *Theor. Appl. Climatol.*, ۹۵(۳-۴): ۲۶۵-۲۷۷.
- Heidorn, K. C., and Yap, D. ۱۹۸۶. A synoptic climatology for surface ozone concentrations in southern Ontario (۱۹۷۶-۱۹۸۱), *Atmos. Environ.*, 20: ۶۹۵-۷۰۳.
- Hu, Y., Chang, M.E., Russell, A.G., and Odman, M.T. ۲۰۱۰. Using synoptic classification to evaluate an operational air quality forecasting system in Atlanta, *Atmospheric Pollution Research*, 1: ۲۸-۲۸۷, DOI:10.5094/APR.2010.035.
- Kalkstein, L. S., Corrigan, P. R. ۱۹۸۶. A synoptic climatological approach for geographical analysis: assessment of sulfur dioxide concentrations. *Annals of the Association of American Geographers*, 76: ۳۸۱-۳۹۵.
- Kalkstein, L.S., Nichols, M.C., Barthel, D.C., and Greene, S.J. ۱۹۹۶. A new spatial synoptic classification: Application to air-mass analysis, *Int. J. Climatol.*, 16: ۹۸۳-۱۰۰۴.
- Kalnay, E., and ۲۱-Co-Authors. ۱۹۹۶. The NCEP/NCAR ۴۰-year reanalysis project, *Bull. Amr. Met. Soc.*, 77: ۴۳۷-۴۷۱.
- Kistler, R., and ۱۶-CoAuthors. ۲۰۰۱. The NCEP/NCAR ۵۰-Year Reanalysis Project, *Bull. Amr. Met. Soc.*, 82: ۲۴۶-
- Lam, K. C., and S. Cheng. ۱۹۹۸. A synoptic climatological approach to forecast concentrations of sulfur dioxide and nitrogen oxides in Hong Kong, *Environ. Pollution*, 101: 183-191.
- McGregor, G. R., and Bamzelis, D. ۱۹۹۸. Synoptic typing and its application to the investigation of weather air pollution relationships, Birmingham, United Kingdom, *Theor. Appl. Climatol.*, 51 (4): ۲۲۳-۲۳۶.
- Moncrieff, M. W., and Miller, M. J. ۱۹۷۶. The dynamics and simulation of tropical cumulonimbus and squall lines. *Quart. J. Roy. Meteor. Soc.*, 102; ۳۷۳-۳۹۴.

- National Weather Service Training Center (NWSTC). ۲۰۰۷. Skew-T, Log P Diagram and Sounding Analysis, RTM -۲۳-, Kansas City, MO ۶۴۱۵۳, ۴۵ pp.
- Schwarzhoff, P.J., and Reid, P.D. ۲۰۰۷. Classification of meteorological patterns associated with the ozone categories in Kelowna, British Columbia, *J. Appl. Meteorol.*, ۴۶: ۴۶۳–۴۷۰.
- Sindosi, O.A, Katsoulis, B.D, and Bartzokas, A. ۲۰۰۳. An objective definition of air mass types affecting Athen, Greece; the corresponding atmospheric pressure pattern s and air pollution levels, *Enviornmental technology*, ۲۴(۸): ۹۴۷-۹۶۲.
- Saadatabadi, A.R., Mohammadian, L., and Vazifeh, A. ۲۰۱۲. Controls on air pollution over a semi-enclosed basin, Tehran: A synoptic climatological approach, *Iranian Journal of Science & Technology*, A۴: ۱۰۱-۱۰۱.
- Sando, T.R. ۲۰۱۱. A climatology of air pollution in the Kansas city metropolitan area, M.A. thesis, Kansas State University, <http://krex.kstate.edu/dspace/bitstream/handle/2097/11187/ThomasSando%2011.pdf?sequence=1>
- Sheridan, SC. ۲۰۰۲. The redevelopment of a weather-type classification scheme for North America. *Int. J. Climatol.*, ۲۲: ۵۱–۶۸.
- Stunder, B.J.B. ۱۹۹۷. NCEP Model Output –FNL ARCHIVE DATA, TD-6141, Prepared for National Climatic Data Center (NCDC). This document and archive grid domain maps are also available at <http://www.arl.noaa.gov/ss/transport/archives.html>.
- Shahgedanova, M., Burt, T.P., and Davies, T.D. ۱۹۹۸. Synoptic Climatology of Air Pollution in Moscow, *Theor. Appl. Climatol.*, 61(1-2): ۸۵-۱۰۲.
- Wang, L.-L., Wang, Y.-S., and Li, Y.-Y. ۲۰۱۰. Synoptic typing and its application for evaluating climatic impact on air quality in Urumqi, *Atmos. Oceanic Sci. Lett.*, 3 (6): ۳۱۲–۳۱۸.
- World Health Organization (WHO), ۲۰۱۱. The Top ۱۰ Most Air Polluted Cities in the World, written by M. L. Goldberg, UN Dispatch, ۲۶ Sep. ۲۰۱۱, Available at: <http://www.dispatch.com/the-top-10-most-air-polluted-cities-in-the-world-are>.
- United States Environmental Protection Agency (US-EPA), ۱۹۷۸. Rapid techniques for calculating the pollutant standards index (PSI), EPA-600/F-78-002, ۶۸ pp.
- United States Environmental Protection Agency (US-EPA), ۱۹۹۸. Guideline for Reporting of Daily Air Quality-Pollutant Standards Index (PSI), EPA Draft, Office of Air Quality Planning and Standards, North Carolina ۲۷۷۱۱, ۲۸ pp.
- Yarnal, B. ۱۹۹۲. *Synoptic Climatology in Environmental Analysis*, Belhaven press, ۱-۱۸.
- Yarnal, B., Comrie, A.C., Frakes, B., and Brown, D.P., (۲۰۰۱), Developments and prospects in synoptic climatology, *Int. J. Climatol.*, 21: ۱۹۲۳–۱۹۵۰.
- Yuen, C.Y., et al. ۱۹۹۸. Synoptic weather patterns associated with NO_x pollution episodes in Hong Kong urban areas, Proceedings of the air & Waste management Association's Annual Meeting & Exhibition, ۹p.
- Ziomas, I., Melas, D., and Zerefos, C.S. ۱۹۹۵. Forecasting peak pollutant levels from meteorological variables, *Atmos. Environ.*, 29: ۳۷۰۳–۳۷۱۱. Case study: ۱۳th and ۱۴th of November, ۲۰۰۷.